

COMUNICACIÓN EN PÓSTER

INVESTIGACIÓN BÁSICA

ID: 1730

Estudio de espesores coroides en niños con tecnología *swept-source*

➤ Autores: Pilar Granados Delgado¹, M^a José García Guijarro¹, Andrés Navarro Mingorance¹, Inmaculada Giménez Sanchís¹, Javier Cantó Vaño¹

¹Ópticas Claravisión.

ANTECEDENTES Y OBJETIVOS

La progresión de la miopía es uno de los temas que más preocupa a la población y a la comunidad científica relacionada con la salud ocular y visual. Por ello, se decide hacer una búsqueda bibliográfica buscando nuevos factores a tener en cuenta en la progresión y evolución de la misma. La longitud axial y el desenfoque periférico son algunas de las líneas de investigación más actuales. Gracias a los avances tecnológicos, en concreto, a la tecnología *swept-source* en OCT (tomografía de coherencia óptica), podemos medir el espesor de la coroides. Siendo este parámetro objeto de estudio en los últimos años para la caracterización más profunda de patologías retinianas tales como las membranas neovasculares, retinopatías diabéticas, degeneraciones maculares, etc. Evidenciando científicamente su relación. Por otro lado, el estudio de la coroides ha hecho a la comunidad científica formular la hipótesis de una posible relación de este parámetro con la progresión de la miopía. Realizar un estudio midiendo el espesor coroidal subfoveal en un grupo de niños sin ametropía frente a otro de niños miopes. Observando las diferencias, entre el grupo emélope y entre el grupo de miopes podremos cuantificar si hay una diferencia significativa o no, y si hay características similares que se repiten.

MATERIAL Y MÉTODOS

Realizamos OCT, de la zona macular central, a todos los miembros de los dos grupos de estudio, con el mismo instrumento. De las imágenes obtenidas con la tecnología *swept-source* de nuestro centro, medimos el grosor de la coroides de forma manual como una línea perpendicular desde el borde superior del complejo EPR(Epitelio Pigmentario de la Retina)/ Membrana de Bruch y el borde inferior de la esclera, definido como CSI (interfase coroides-esclera). En la Figura 1, se aprecia las distintas capas de la coroides y podemos observar los límites comentados. Primer grupo de estudio, ojos de niños con miopía. Segundo grupo, grupo control, ojos de niños emétopes. Edades comprendidas entre los 5 y los 14 años. Se realizan las medidas manualmente, de la manera anteriormente descrita, con el mismo OCT a todos los miembros del estudio. Medimos diferentes zonas subfoveales: superior, inferior, nasal y temporal, a 1 mm de la fovea y a 3 mm.

RESULTADOS

Los resultados obtenidos en el primer grupo de estudio, miopes, serán comparados con los obtenidos en otros estudios. Tabla 2. En ella podemos apreciar que el espesor coroidal era significativamente menor en el grupo de miopes que en



Sesión 12



Domingo, 15
de abril



10:15 h a 10:30 h



Terminal 17



el grupo control, en todas las zonas examinadas. Se observará su relación con la edad. En artículos publicados con anterioridad se muestra una relación directa, a mayor edad menor espesor coroideo.

CONCLUSIONES

En los estudios analizados observamos que la población presenta un espesor coroideo inferior

en miopes. El posible adelgazamiento de dicha capa puede deberse a un aumento de la longitud axial. Algunos estudios publicados recientemente plantean la hipótesis de si una coroides más delgada puede predecir el inicio o la progresión de la miopía, necesiéndose más estudios. Proporcionar dicha información es el aliciente del presente estudio.

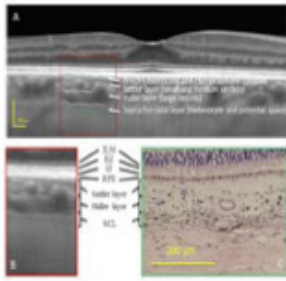


Figura 1.

Table 2

Average choroidal thickness and 95 % CI at different locations in macula

Location (mm from fovea)	High myopia		Control		Mean Difference (µm) ^a	95% CI (µm)		P
	Mean (µm)	SD (µm)	Mean (µm)	SD (µm)		Lower Bound	Upper Bound	
MCCT	280.14	68.39	278.23	84.67	-18.07	-88.39	-62.77	<0.001
Superior 1 mm	233.04	61.30	231.88	88.44	-18.81	-49.04	-24.57	<0.001
Superior 2 mm	187.75	63.98	237.95	84.84	-50.19	-72.54	-47.83	<0.001
Inferior 1 mm	188.90	61.88	242.11	73.18	-53.21	-58.51	-28.91	<0.001
Inferior 2 mm	182.18	68.88	227.67	76.01	-45.49	-57.71	-33.27	<0.001
nasal 1 mm	171.78	68.11	228.07	76.28	-56.29	-67.89	-44.69	<0.001
nasal 2 mm	159.90	67.97	198.59	82.27	-38.69	-51.38	-25.94	<0.001
Temporal 1 mm	189.29	67.02	235.72	88.04	-46.43	-54.12	-48.73	<0.001
Temporal 2 mm	182.18	67.94	242.94	72.18	-60.76	-73.78	-47.33	<0.001

CI confidence interval, SD standard deviation, MCCT macular central choroidal thickness

^aControl group as reference

Tabla 2.

ORGANIZA:



AVALA:



COLABORA:



COLABORACIÓN ESPECIAL:

